

(176) Fe-Mn-O-S 系における溶融スラグと溶鉄間の平衡

名古屋工業大学

○林 昭二

井口義章

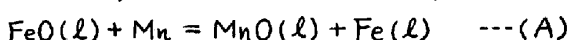
平尾次郎

1. 緒言：前報¹⁾で H_2-H_2S , H_2-H_2O および $H_2-H_2O-H_2S$ の各混合ガスと溶鉄間の平衡を測定し、それらから溶鉄中の硫黄と酸素の活量および硫黄と酸素の相互作用を明かにした。そこで本研究では鉄鋼製錬でのマンガンの重要性から上記の各系の溶鉄にマンガンを加えた場合の溶融スラグ-溶鉄間の平衡を測定した。

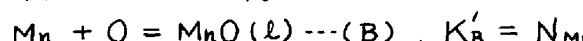
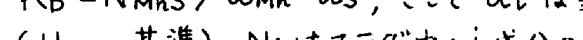
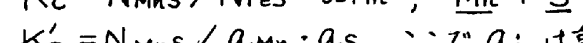
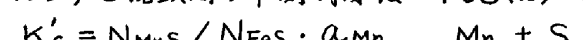
2. 実験方法：モリブデン線抵抗炉にて、 MgO ルツボ中で $(Mn, Fe)O$, $(Mn, Fe)S$ および (Mn, Fe) 酸硫化物の各溶融スラグと溶鉄間の平衡を 1550 , 1600°C で測定した。酸素ポテンシャル調整用の雰囲気ガスとして $\text{Ar}-\text{H}_2$, $\text{Ar}-\text{H}_2-\text{H}_2O$ が用いられた。溶解時間は $0.3 \sim 1 \text{ h}$ であった。純鉄棒でスラグとメタルを同時に採取した。メタル中のマンガン、酸素および硫黄そしてスラグ中のマンガン、全鉄、全硫黄、硫化鉄中硫黄およびマグネシウムについて定量分析した。

3. 実験結果と考察

表1 3元系における見掛けの平衡定数

溶融 $(Mn, Fe)O$ スラグと溶鉄間の平衡関係は

$K'_A = N_{\text{MnO}} / N_{\text{FeO}} \cdot \alpha_{\text{Mn}}$

スラグと溶鉄間の平衡関係は $\text{FeS}(l) + \underline{\text{Mn}} = \text{MnS}(l) + \text{Fe}(l) \quad \cdots (\text{C})$ ここで α_i は重量%表示の溶鉄中の i 成分の活量(Henry 基準)。 N_j はスラグ中の j 成分のモル分率で活量の基準は純粋状態とする。溶融 $(Mn, Fe)O$ 酸硫化物スラグと溶鉄間に平衡にある

時には (A), (B), (C) および (D) 反応も同時に平衡状態にある。

結果を以下に示す。(1) 3元系での各反応の見掛けの平

衡定数を表1に示した。(2) $(Mn, Fe)O$ スラグは理想溶液に近似できた。(3) $(Mn, Fe)S$ スラグ中の MnS , FeS はともに

Raoult 則から正偏倚した。(4) 4元系と各3元系で得られた

見掛けの平衡定数を比べることにより 4元系スラグ中の各成

分の活量係数を得た。(表2) FeS はかなりの正偏倚を示した。(5) $\text{Fe}-\text{Mn}-\text{O}$ 系へ硫黄添加しても溶鉄中の酸素濃度にはほとんど影響しなかった。これはスラグ中の FeO 活量の減

少効果と溶鉄中の酸素の活量を硫黄が下げる効果がほぼ

等しかったためである。(Fig.1) (6) 4元系スラグ中の

硫化物と酸化物のモル比における溶鉄中の硫黄、酸素

およびマンガンの影響を Fig.2 に示した。マンガンはモル

比にはあまり影響を及さないが、溶鉄領域を狭くする。

(7) $(\%) S \alpha_O / \alpha_S$ つまり $S-O$ 比はスラグ組成によらず0.90 (1600°C) を得た。これは純 FeO の 0.83²⁾ に近かった。

文献 1) 鉄と鋼, 66(1980) S896, 897 2) Bishop: Trans AIME, 206(1956) 862

$^{\circ}\text{C}$	$\log K'_A$	$\log K'_B$	$\log K'_C$	$\log K'_D$
1550	0.708	1.462	$0.251 \alpha_{\text{Mn}} + 0.622$	$0.0220 \alpha_{\text{Mn}} - 0.126$
1600	0.618	1.263	$0.260 \alpha_{\text{Mn}} + 0.478$	$0.0185 \alpha_{\text{Mn}} - 0.235$

表2 4元系スラグ中の各成分の活量係数

$\gamma_{\text{MnO}} \approx 1.2 \sim 2$
$\gamma_{\text{FeO}} \approx 0.9 \sim 0.6$
$\gamma_{\text{MnS}} \approx 0.9 \sim 1.3$
$\gamma_{\text{FeS}} \approx 3 \sim 12$

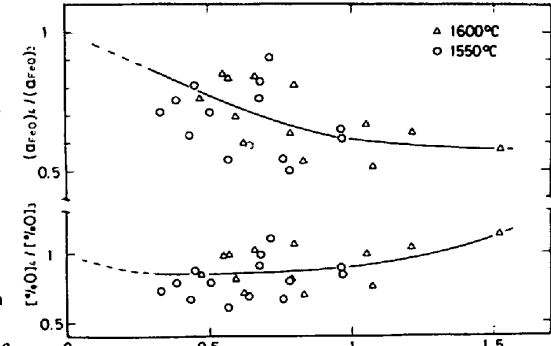
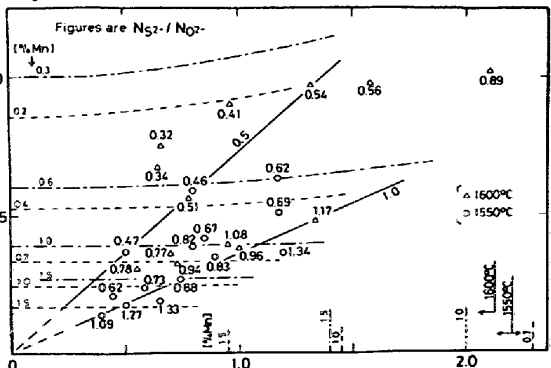


Fig. 1 FeO 活量と酸素濃度における S の影響

Fig. 2 $\text{N}_{\text{S}^{2-}}/\text{N}_{\text{O}^{2-}}$ における溶鉄中成分の影響